

## بررسی آزمایشگاهی و عددی تبادلات هایپریک در حضور فرم بستر خیزاب و چالاب

نشاط موحدی<sup>۱</sup>، امیراحمد دهقانی<sup>۲\*</sup>، نیکو ترات<sup>۳</sup> و مهدی مفتاح هلقی<sup>۴</sup>

۱. دانشجوی دکتری، دانشکده مهندسی آب و خاک، دانشگاه علوم کشاورزی و منابع طبیعی گرگان
۲. دانشیار، دانشکده مهندسی آب و خاک، دانشگاه علوم کشاورزی و منابع طبیعی گرگان
۳. پژوهشگر، دانشکده هیدرولوژی، مرکز تحقیقات محیط زیست هلمهولتز، لاپزیک، آلمان

(تاریخ دریافت ۱۳۹۷/۰۷/۱۳؛ تاریخ تصویب ۱۳۹۷/۱۱/۱۳)

### چکیده

ناحیه هایپریک به ناحیه اشیاع بلافضله زیر بستر رودخانه گفته می شود که کارکرد بسیار مهمی در اکولوژی جانداران دارد. در این ناحیه، قسمتی از جریان آب سطحی اکسیژن و مواد مغذی را به جانداران می رساند و پس از طی زمان معینی دوباره به آب سطحی باز می گردد. تبادلات هایپریک بین جریان سطحی و جریان در محیط متخلخل رودخانه می تواند بر اثر وجود شکل های مختلف بستر رودخانه ایجاد شود. خیزابها و چالابها ویژگی های توپوگرافیکی هستند که در رودخانه های مستقیم، مارپیچی و شاخه ای یافت می شوند. تغییرات فشار روی سطح این فرم بستر به ایجاد تبادل های هایپریک منجر می شود. تخمین دقیق میزان این تبادلات و زمان ماند جریان می تواند در پروژه های احیای رودخانه ها بسیار مفید باشد. بنابراین، در تحقیق حاضر ضمن بررسی آزمایشگاهی تأثیر فرم بستر خیزاب- چالاب بر تبادلات هایپریک، با به کارگیری روش شبیه سازی گردابه های بزرگ، تغییرات فشار روی بستر شبیه سازی عددی شده و سپس مدل آب زیرزمینی و روش ردیابی ذرات برای شبیه سازی جریان در ناحیه هایپریک به کار گرفته شد. نتایج نشان داد حل کننده ایترفوم با مدل شبیه سازی به روش گردابه های بزرگ به خوبی قادر است شرایط آزمایشگاهی را مدل سازی کند. به طوری که پروفیل سطح آب را برای کل آزمایش های تحقیق حاضر، با درصد خطای متوسط (MPE) ۱/۸ درصد برآورد می کند که با توجه به میزان اندک خطا در تخمین پروفیل سطح آب، می تواند تخمین دقیقی از فشار روی سطح فرم بستر و به دنبال آن میزان تبادلات هایپریک ارائه کند. بررسی مشخصات ناحیه هایپریک نشان می دهد با افزایش عدد رینولدز، تبادلات هایپریک افزایش یافته و زمان ماندگاری کاهش می یابد. همچنین، نتایج تحقیق حاضر نشان داد نمودارهای زمان ماند از توزیع مقادیر حدی تعیت می کنند. در تحقیق حاضر، به طور متوسط ۲۰ درصد جریان سطحی در تبادل با جریان زیرسطحی است.

**کلیدواژگان:** اوین فوم، تبادلات هایپریک، خیزاب- چالاب، زمان ماند.

نیتروژن دهی و غیره منجر شود. افزایش واکنش‌های بیوشیمیایی، حتی در ناحیه کوچکی از هایپریک، می‌تواند به طور در خور توجهی خصوصیات شیمیایی جریان خروجی از حوضه را تغییر دهد [۱].

عوامل متعددی مانند خصوصیات رسوب، تراز آب زیرزمینی و توپوگرافی بستر، بر تبادلات هایپریک و اندازه ناحیه هایپریک تأثیر گذارند [۴]. تبادل آب بین جریان سطحی و ناحیه هایپریک تابع اختلاف فشار در مقیاس‌های مختلف است. در مقیاس حوضه‌ای<sup>۶</sup>، تبادل وقتی رخ می‌دهد که بین تراز رودخانه و تراز آب زیرزمینی اختلاف وجود داشته باشد. در مقیاس کوچک‌تر، مقیاس بازه‌ای از رودخانه<sup>۷</sup>، اثر متقابل بین جریان رودخانه و ویژگی‌های ژئومورفولوژیکی، مانند دیون، توالی‌های خیزاب-چالاب<sup>۸</sup> و توالی پله‌ها<sup>۹</sup> سبب ایجاد اختلاف فشار خواهد شد [۵].

دیون‌ها به‌وفور در رودخانه‌ها، مصب‌های جذر و مدبی و خلیج‌ها وجود دارند. تایبادوکس و بویل (۱۹۸۷) نخستین کسانی بودند که به طور مشاهده‌ای نشان دادند در یک فرم بستر دیون، جریان‌های هایپریک به‌وسیله گرادیان‌های فشار دینامیکی در امتداد فرم بستر ایجاد می‌شوند، به‌طوری که در مناطق پرفشار جریان به داخل فرم بستر هدایت شده و در مناطق کم‌پشار دوباره به داخل جریان برمی‌گردد [۶]. پس از آن، محققان زیادی به بررسی تبادلات هایپریک در فرم بستر دیون به‌طور آزمایشگاهی [۹-۱۰] و عددی [۱۰-۱۴] پرداختند.

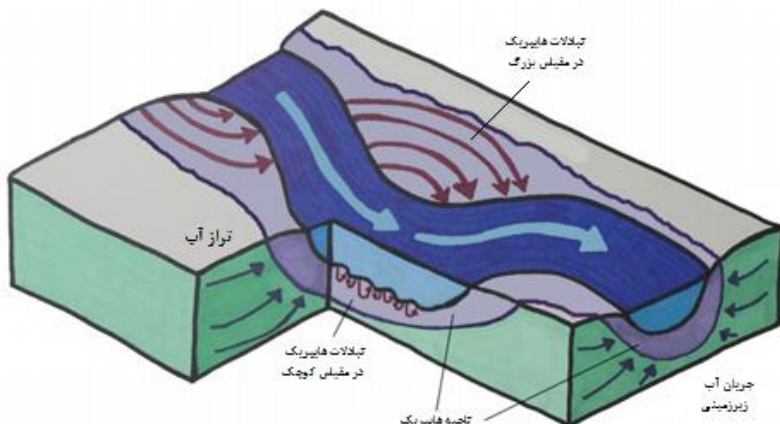
خیزاب‌ها و چالاب‌ها ویژگی‌های توپوگرافیکی هستند که در رودخانه‌های مستقیم، مارپیچی و شاخه‌ای یافت می‌شوند و به عنوان عنصر اصلی در شروع و توسعه رودخانه‌های مارپیچی در نظر گرفته می‌شوند. تغییرات هیدرودینامیکی خیزاب‌ها و چالاب‌ها شرایط زیستگاهی متنوعی را برای گونه‌های مختلف ماهی و مراحل مختلف زندگی آنها فراهم می‌کنند. این موضوع سبب ایجاد خیزاب‌ها و چالاب‌های مصنوعی در پروژه‌های احیای رودخانه‌ها شده است [۱۵].

## مقدمه

رودخانه‌ها سیستم‌های پیچیده‌ای هستند که انسواع فرایندهای شیمیایی، بیولوژیکی و فیزیکی در آنها اتفاق می‌افتد. ناحیه هایپریک<sup>۱</sup>، یک ناحیه اشباع بینابینی زیر بستر رودخانه و جداره‌های آن است که شامل بخشی از جریان رودخانه می‌شود که به داخل بستر نفوذ کرده است (شکل ۱). عبارت هایپریک برای نخستین بار توسط ارقیدن (۱۹۵۹) مطرح شد که در واقع ترکیب پیشوند یونانی «rheos» با کلمه ریشه «hypo» است و جریان زیرین معنا می‌دهد [۱]. هنگامی که جریان در مسیر رودخانه حرکت می‌کند، تبادلی بین جریان رودخانه و بستر زیر رودخانه به وجود می‌آید. اختلاط جریان‌های هایپریک به وسیله سلول‌های چرخشی‌ای رخ می‌دهد که جریان رودخانه را به سمت آبرفت هدایت می‌کنند (جریان‌های رو به پایین<sup>۲</sup>، مدتی در آنجا باقی می‌گذارند و دوباره به داخل رودخانه باز می‌گردانند (جریان‌های رو به بالا<sup>۳</sup>) که این عمل با عنوان «تبادلات هایپریک<sup>۴</sup>» معروف می‌شود [۲]. زمانی که طول می‌کشد جریان رودخانه از بین رسوبات زیر بستر رودخانه عبور کند و دوباره به سطح بازگردد، به عنوان زمان ماند<sup>۵</sup> تعریف می‌شود. زمان ماند مهم‌ترین خصوصیت ناحیه هایپریک است، زیرا واکنش‌های شیمیایی و بیولوژیکی که داخل رسوبات رخ می‌دهد، به زمانی بستگی دارد که جریان رودخانه در ارتباط با محیط زیر رودخانه است [۳]. تبادلات هایپریک، مواد محلول و معلق، مانند مواد مغذی، آلاینده‌ها، کربن آلی و اکسیژن را به داخل ناحیه هایپریک حمل می‌کند، در نتیجه شرایط اکولوژیکی و چرخه مواد غذایی را در این ناحیه تحت تأثیر قرار می‌دهد. جریان سطحی‌ای که وارد منطقه هایپریک می‌شود، معمولاً اکسیژن زیاد داشته و در معرض نور زیاد قرار دارد، و با آب زیرسطحی‌ای مخلوط می‌شود که اغلب اکسیژن ناچیز و عاری از نور دارد. مخلوط شدن جریان با ترکیب‌های شیمیایی مختلف، تنوع میکروبی را آسان می‌کند و نتیجهٔ متابولیسم میکروبی ممکن است به شماری از واکنش‌ها مانند اکسیداسیون کربن آلی، معدنی شدن مواد مغذی،

6. Catchment, Basin or Watershed Scale  
7. Reach Scale  
8. Riffle-pool sequences  
9. Step

1. Hyporheic Zone  
2. Downwelling  
3. Upwelling  
4. Hyporheic Exchange  
5. Residence time



شکل ۱. نمایی کلی از جریان‌های هایپریک [۴]

(شرط مرزی no flow برای سطح فرم بستر) صورت گرفت و فشارهای به دست آمده از این مدل به عنوان شرط مرزی ورودی برای مدل‌سازی قسمت متخالخل با استفاده از مدل آب زیرزمینی MIN3P به کار رفت [۱۸].

همان گونه که سوابق تحقیق نشان می‌دهد بیشتر مطالعات آزمایشگاهی و عددی صورت گرفته در زمینه تبادلات هایپریک، بر فرم بستر دیون و با استمر ماسه‌ای متتمرکز بوده‌اند. بنابراین، در مقاله حاضر سعی شده است ضمن بررسی آزمایشگاهی تبادلات هایپریک در فرم بستر خیزاب-چالاب روی بستر شنی، برآورد دقیقی از میزان فشار در سطح فرم بستر و به دنبال آن، خصوصیات ناحیه هایپریک ارائه شود.

## مواد و روش‌ها

### مدل آزمایشگاهی

کلیه آزمایش‌های تحقیق حاضر در کanal آزمایشگاهی به طول ۱۲ متر، عرض یک متر و ارتفاع ۰/۸ صورت گرفت. مخزن انتهایی کanal به حجم تقریبی ۷/۸ مترمکعب، آب مورد نیاز به منظور چرخش جریان را توسط پمپ به داخل کanal فراهم می‌کرد. دریچه پروانه‌ای نیز در انتهای کanal به منظور تنظیم عمق جریان تعییه شده بود. کلیه اندازه‌گیری‌های عمودی با استفاده از عمق‌سنج دیجیتال به دقیقی ۰/۱ میلی‌متر که روی ارایه نصب شده بود، صورت می‌گرفت. ارایه مدنظر به راحتی در طول و عرض کanal حرکت می‌کرد.

طبق تحقیقات لئوپلد و ولمن (۱۹۵۷) و کلر (۱۹۷۱) در رودخانه‌هایی که بستر خیزاب-چالاب در آن‌ها به طور

نخستین مطالعه در زمینه تبادلات هایپریک در رودخانه‌های شنی همراه با بستر خیزاب-چالاب-بار توسط تونینا و بافینگتن (۲۰۰۷) صورت گرفت. تأثیر دبی جریان و دامنه فرم بستر بر جریان‌های هایپریک با استفاده از تزریق فلورسین به داخل جریان و ثبت میزان کاهش آن با زمان بررسی شد. فشارهای دینامیک نیز در سطح و داخل بستر رسوبی با استفاده از پیزومتر ثبت می‌شد که نتایج آن برای مقایسه با مدل عددی فلوئنت استفاده شد. با مقایسه فشارهای دینامیک و فشارهای هیدرولاستاتیک در شرایط مختلف دبی و دامنه فرم بستر، نتایج آنان نشان داد استفاده از فشارهای هیدرولاستاتیک (که اندازه‌گیری آن در شرایط صحراوی راحت‌تر است) می‌تواند در جریان‌های زیاد و با دامنه فرم بسترها کوچک، جایگزین مناسبی برای فشارهای دینامیک باشد [۱۶]. ژو و اندری (۲۰۱۳) تأثیر خیزاب-چالاب بر میزان تبادلات هایپریک و عمق نفوذ آن به داخل بستر شنی در حضور فرم بستر خیزاب-چالاب (در یک طول موج و دامنه ثابت) را بررسی کردند. با استفاده از تزریق سدیم کلرید به داخل جریان، دبی عمودی هایپریک و با تزریق جوهر از جداره کanal به درون بستر، به طور مشاهده‌ای خطوط جریان زیرسطحی و عمق هایپریک را برآورد کرده و در نهایت، مدل Flow3D را برای تخمین خصوصیات ناحیه هایپریک برای شرایط هیدرولیکی مختلف ارزیابی کردند [۱۷]. ترات و همکارانش (۲۰۱۳) به بررسی عددی تبادلات هایپریک در حضور خیزاب-گوداب تحت شرایط مختلف آب زیرزمینی محصور پرداختند. مدل‌سازی جریان سطحی با استفاده از بسته نرم‌افزاری OpenFOAM و با فرض بستر نفوذناپذیر

رسوبات اندازه متوسط ( $d_{50}$ ) ۶/۸ میلی‌متر و ضریب یکنواختی ( $n_g$ ) ۱/۵ داشتند. عمق بستر رسوبی ۳۴ سانتی‌متر در نظر گرفته شد. این انتخاب با توجه به مطالعه تایبادوکس و بویل (۱۹۸۷) صورت گرفت که بیان کردند عمق جریان‌های هایپریک تا پنج برابر ارتفاع فرم بستر خواهد رسید [۶]. آزمایش‌ها برای سه دبی ۱۱/۶، ۱۹ و ۲۲/۹ لیتر بر ثانیه انجام پذیرفت. در جدول ۱، پارامترهای هیدرولیکی آزمایش‌های صورت گرفته ارائه شده است.

پس از ایجاد هندسه مدل نظر، پمپ روشن شده و جریان به آرامی در دبی‌های کم وارد کanal می‌شد. ابتدا، دریچه انتهای کanal بالا نگه داشته می‌شد تا سطح آب در کanal کمی بالا بیاید، سپس دبی جریان را به مقدار مدل نظر رسانده و دریچه به آرامی به طور کامل باز می‌شد تا جریان آزاد داخل محیط متخلخل برقرار شود. دبی جریان و دریچه انتهایی به گونه‌ای تنظیم می‌شد که ضمن استغراق کامل فرم بستر، هیچ‌گونه حرکت رسوبی ملاحظه نشود. پس از اطمینان از توسعه یافتنی جریان، برداشت داده‌های مورد نیاز برای تعیین مشخصات ناحیه هایپریک آغاز می‌شد.

طبیعی شکل می‌گیرد، طول موج فرم بستر ۳ تا ۷ برابر عرض آبراهه است. همچنین، طبق مطالعه مونتگمری و همکارانش (۱۹۹۵)، در رودخانه‌هایی که انتقال رسوب بهدلیل حضور موائع در سر راه جریان وجود دارد، طول موج فرم بستر می‌تواند برابر عرض آبراهه در نظر گرفته شود [۱۸]. بنابراین، در آزمایش‌های تحقیق حاضر، طول موج یک متر برای کلیه آزمایش‌ها در نظر گرفته شد. با توجه به طول کanal، پنج سیکل متوالی از فرم بستر خیزاب - چالاب، با دامنه ۶/۸ سانتی‌متر (فاصله تاج خیزاب تا کف چالاب) و طول موج یک متر با استفاده از شابلون چوبی از پیش ساخته شده، طبق رابطه سینوسی زیر، ایجاد شد (رابطه ۱).

$$z = A \sin(\lambda x) \quad (1)$$

که در آن  $A$  دامنه فرم بستر و  $\lambda$  طول موج است.  $x$  فاصله در راستای طولی کanal و  $z$  ارتفاع فرم بستر است. نسبت دامنه فرم بستر به طول موج آن ۰/۰۶۸ است که طبق تحقیق بافینگتن و مونتگمری (۱۹۹۹) امکان تشکیل چنین فرم بستری در رودخانه‌های شنی وجود دارد [۱۹]. شکل ۲ بستر نهایی خیزاب - چالاب ایجاد شده را نشان می‌دهد.



شکل ۲. فرم بستر خیزاب - چالاب

جدول ۱. پارامترهای هیدرولیکی آزمایش‌های صورت گرفته

آزمایش	دبی (لیتر بر ثانیه)	عمق متوسط جریان (متر)	سرعت متوسط جریان (متر)
آزمایش ۱	۱۱/۶	۰/۰۶۷	۰/۱۷۱
آزمایش ۲	۱۹	۰/۰۷۹	۰/۲۳۸
آزمایش ۳	۲۲/۹	۰/۰۸۶	۰/۲۶۴

$$\rho = \alpha \rho_w + (1+\alpha) \rho_a \quad (3)$$

که در آن  $\rho_w$  چگالی آب و  $\rho$  چگالی هواست.  
معادله انتقال فصل مشترک و معادله پیوستگی برای جریان دوفازی غیر قابل تراکم به ترتیب به صورت روابط ۴ و ۵ هستند:

$$\frac{\partial \alpha}{\partial t} + \bar{U} \cdot \nabla \alpha = 0 \Rightarrow \frac{\partial \alpha}{\partial t} + \nabla \cdot (\bar{U} \alpha) = \alpha \nabla \cdot (\bar{U}) \quad (4)$$

$$\frac{\partial}{\partial t}(\rho) + \nabla \cdot (\rho \bar{U}) = 0 \Rightarrow \nabla \cdot (\bar{U}) = 0 \quad (5)$$

بنابراین، معادله انتقال فصل مشترک برای جریان دوفازی غیر قابل تراکم به صورت رابطه ۶ خواهد بود:

$$\frac{\partial \alpha}{\partial t} + \nabla \cdot (\bar{U} \alpha) = 0 \quad (6)$$

معادله مومنت نیز به صورت رابطه ۷ است:

$$\begin{aligned} \frac{\partial(\rho \bar{U})}{\partial t} + \nabla \cdot (\rho \bar{U} \bar{U}) &= \\ -\nabla p + \nabla \cdot \left( \mu \left( (\nabla \bar{U})^T + \nabla \bar{U} \right) \right) + F_\sigma & \end{aligned} \quad (7)$$

قسمت آخر معادله یادشده، بیان کننده اثر نیروی کشش سطحی است. عبارت  $\bar{U} \bar{U}$  تناسور تنش رینولدز است. معادلات یادشده، RANS نامیده می شوند که مدل های آشفتگی مختلفی برای تخمین تنسور های تنش رینولدز را به ارائه شده است. طبق توصیه مکشri و همکارانش (۲۰۱۷)، در تحقیق حاضر از مدل شبیه سازی گردابه های بزرگ (LES) استفاده شد [۲۰]. یکی از مدل های مشهور آشفتگی به روش گردابه های بزرگ (LES)، مدل دینامیکی اسماگورینسکی<sup>۳</sup> است که در تحقیق حاضر از مدل شبیه سازی گردابه های بزرگ (LES) استفاده شد [۲۱]. الگوریتم حل simple برای حل مسائل پایا و الگوریتم های حل PIMPLE و PISO برای حل مسائل transient استفاده می شوند. اما از آنجا که مدل آشفتگی LES در تحقیق حاضر ارزیابی می شود، از حل کننده های پایا نمی توان استفاده کرد. در نتیجه، در تحقیق حاضر به منظور حل قسمت های فشار و سرعت در معادلات ناویر استوکس، الگوریتم PIMPLE به کار برده شده است.

نخستین و مهم ترین مرحله شبیه سازی عددی، ساخت مش است. برای ساخت مش از کد نوشته شده در نرم افزار

پس از برقراری شرایط هیدرولیکی یادشده و اطمینان از توسعه یافتنی جریان، پروفیل سطح آب قرائت شده و سرعت جریان نیز با استفاده از یک دستگاه سرعت سنج میکرو اندازه گیری می شد. همچنین، به منظور تعیین سرعت در بستر رسوی، تریق ماده رنگی در نزدیکی جداره کانال صورت می گرفت. ماده رنگی مد نظر پرمنگنات سدیم بود که به طور ثقلی با استفاده از میله ای به قطر داخلی سه میلی متر و سرنگی که روی آن قرار داده شده بود، در عمق ها و مکان های مختلف داخل بستر رسوی تزریق می شد. با ثبت زمان و طول مسیر طی شده، سرعت داخل محیط متخالخل برآورد می شد. کلیه اندازه گیری ها در سیکل وسط (سیکل سوم)، در فاصله یک چالاب تا چالاب بعدی صورت می گرفت.

### شبیه سازی عددی

#### شبیه سازی جریان سطحی

در تحقیق حاضر از نرم افزار متن باز اوپن فوم (OpenFOAM) به منظور شبیه سازی جریان سطحی استفاده شد که معادلات حاکم را به روش حجم محدود حل می کند. حل کننده های مختلفی با توجه به مشخصات میدان حل ارائه شده است که در بین آن ها حل کننده interFoam برای حل جریان دوفازی، غیر قابل تراکم، همدم و مخلوط نشدنی مناسب است. برای شبیه سازی جریان دوفازی در این حل کننده، از مدل یک سیال<sup>۱</sup> استفاده شده است. در این مدل فقط به حل یک دسته معادلات پایستاری برای هر دو فاز نیاز است. این حل کننده از روش حجم سیال<sup>۲</sup> برای تعیین سطح آزاد آب (مرز بین هوا و آب) استفاده می کند که روش یادشده به تخمین کسری از سیال در هر یک از سلول های محاسباتی وابسته است. معادله کسر حجمی به صورت رابطه ۲ است:

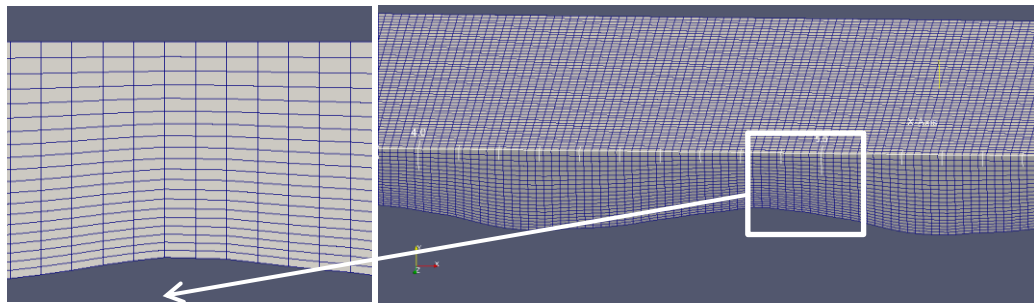
$$\frac{\partial \alpha}{\partial t} + \nabla \cdot (\alpha U) = 0 \quad (2)$$

که  $U$  میدان سرعت و  $\alpha$  کسر حجمی آب و هواست. مقدار  $\alpha$  برای فاز مایع (آب) یک، برای فاز هوا صفر و برای فصل مشترک بین صفر و یک تعییر می کند. چگالی سیال داخل هر سلول مش می تواند با استفاده از کسر حجمی، که به عنوان کسر فازی  $\alpha$  نیز شناخته می شود، تخمین زده شود (رابطه ۳):

1. One fluid method

2. Volume of fluid

بود. همچنین، در راستای عمق کانال مش به صورت غیر یکنواخت با رزولوشن ۲۰ در نظر گرفته شد، به طوری که با نزدیک شدن به فرم بستر، اندازه مش ریزتر می‌شد. شکل ۳، نمایی از هندسه مش خورده کانال را نشان می‌دهد. مش شامل سلول‌های ششوجهی بود که در مجموع تعداد سلول‌های محاسباتی، ۳۶۶۵۲۰ سلول بودند. در تحقیق حاضر به منظور شبیه‌سازی جریان سطحی، هندسه کانال کاملاً مشابه آزمایشگاه انتخاب شده و تعداد پنج سیکل خیزاب-چالاب بررسی شد.



شکل ۳. نمایی از هندسه مش خورده کانال در فاصله بین دو چالاب متواالی

با معرفی یکتابع دیواره برای شرط مرزی در سطح فرم بستر، شرایط ناحیه متخلخل زیرین (با اعمال زبری ای معادل اندازه متوسط صالح بستر)، شبیه‌سازی شد. برای بقیه مرزها هم شرط گرادیان صفر در نظر گرفته شد. برای همگراشدن حل، باید باقی‌مانده خطاهای کمتر از یک مقدار مشخصی شود. این امر در فایلی به نام fvsolution صورت می‌گیرد که برای هر یک از پارامترها این مقدار  $10^{-7}$  معرفی شد. این باقی‌ماندها در فایل‌های خروجی چاپ شده توسط نرم‌افزار هنگام حل و انتهای آن درخور توجه اند. پس از اطمینان از همگرایی حل، به منظور تحلیل نتایج، نیاز به نرم‌افزاری است که قابلیت خواندن خروجی‌های اوپن‌فوم را داشته باشد. یکی از این نرم‌افزارها paraview است که نوعی نرم‌افزار متون باز است و قابلیت اندازه‌گیری، محاسبه، رسم نمودار و استخراج داده را دارد.

#### شبیه‌سازی جریان زیرسطحی

برای حل جریان محیط متخلخل زیرین، دو دسته معادلات دارسی و پیوستگی با داشتن توزیع فشار در امتداد فرم بستر، کوپل می‌شوند. در تحقیق حاضر فشار روی سطح فرم بستر که با استفاده از حل جریان سطحی (اوپن‌فوم) به دست آمده بود، به عنوان شرط مرزی روی مرز بالا (سطح فرم بستر) در

Matlab توسط مؤلفان استفاده شد، که خروجی نهایی آن blockMeshDict بوده که یک دیکشنری برای ساخت مش پایه است. این کد می‌تواند به راحتی هندسه‌های مختلف فرم بستر و اندازه مش در هر راستا را تغییر دهد و فایل بلاکمش را چاپ کند. اندازه‌های مختلف مش اجرا شد و در انتهای هر اجرا، پروفیل سطح آب و پروفیل‌های سرعت با مدل آزمایشگاهی مقایسه شد. در نهایت، اندازه مش در راستای طول و عرض کانال ۰/۰۲ متر انتخاب شد که نتایج آن به نتایج آزمایشگاهی نزدیک

شرایط مرزی که باید روی هر مرز اعمال شود، در واقع معرف شرایط آن متغیر از لحاظ داشتن یک مقدار ثابت یا داشتن یک گرادیان در آن مرز است. در نرم‌افزار اوپن‌فوم باید شرط مرزی را برای هریک از متغیرهای سرعت و فشار برای تمامی مرزهای آن (مرز ورودی، خروجی، دیوارهای و سطح آب) معرفی کرد. برای سرعت در ورودی شرط مرزی سرعت، در خروجی شرط مرزی گرادیان صفر، و برای جدارهای و کف شرط مرزی عدم لغزش انتخاب شد. برای مرز بالا نیز از شرط مرزی فشار استفاده شد. برای فشار در ورودی، جدارهای و کف از شرط مرزی گرادیان صفر استفاده شد. برای شرط مرزی بالا و خروجی، شرط مرزی فشار معرفی شد. در حل جریان‌های دوفازی، باید شرط اولیه‌ای برای سلول‌های دارای فاز آب و هوا معرفی شود که این امر در فایلی به نام alpha.water صورت می‌گیرد، که با توجه به تراز سطح آب در آزمایشگاه، مقدار اولیه‌ای به مدل معرفی شد. برای مدل آشفتگی به کار برده شده در تحقیق حاضر، لازم است فایلی به نام nutSgs، که در واقع متغیر لزجت دینامیکی است، به مدل معرفی شده و برای آن نیز شرایط مرزی برای هریک از مرزها اعمال شود. یکی از نوآوری‌های تحقیق حاضر در همین فایل اعمال شد که

تراز سطح آب محاسباتی و مشاهداتی برای آزمایش ۲ ترسیم شده است. همان طور که ملاحظه می‌شود، نتایج تطابق خوبی با مدل شبیه‌سازی شده، به‌ویژه در مناطق چالاب که آشفتگی‌ها کمترند، دارند. در جدول ۲ مقادیر پارامترهای آماری برای این سه آزمایش ارائه شده است.

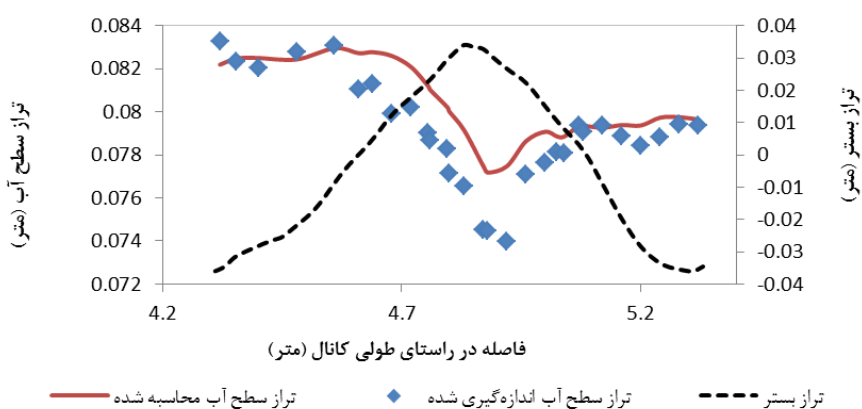
در شکل ۵، تغییرات سرعت محاسباتی و مشاهداتی در طول کanal برای آزمایش ۳ ترسیم شده است. در این نمودار سرعت و عمق بهتری نسبت به سرعت متوسط و عمق متوسط جریان بی بعد شده است. همان طور که ملاحظه می‌شود، علاوه بر پروفیل سطح آب، پروفیل‌های سرعت محاسباتی نیز تطابق خوبی با سرعت‌های اندازه‌گیری شده در آزمایشگاه دارند. مقادیر  $RMSE=0.04$  متر بر ثانیه و  $R^2=0.78$  معرف دقت مدل عددی ارائه شده‌اند. خطوط جریان اطراف خیزاب- چالاب در دبی حداقل و حداکثر در شکل ۶ ارائه شده است. در دبی‌های کم دو گردابه کل ناحیه چالاب را می‌پوشانند، این در حالی است که در دبی‌های زیاد یک گردابه‌ها در عمیق‌ترین نقطه چالاب مشاهده می‌شود. علت به وجود آمدن پروفیل سرعت منفی در ناحیه چالاب (شکل ۵-الف)، نیز وجود گردابه برگشتی (مانند شکل ۶) در این ناحیه است.

مدل آب زیرزمینی MODFLOW قرار گرفت. با استفاده از یک رابط گرافیکی، شبکه پایه‌ای مطابق با هندسه مسئله ایجاد شده و سپس توپوگرافی و توزیع فشار در سطح فرم بستر به مدل معرفی می‌شود. برای ایجاد هندسه مدل، اندازه مش در راستای طولی و عرضی کanal مطابق با اندازه مش در حل جریان سطحی (دو سانتی‌متر) و تعداد لایه‌ها متناسب با عمق بستری رسوی در آزمایشگاه (۳۴ سانتی‌متر) انتخاب شد که اندازه مش در این راستا یک سانتی‌متر انتخاب شد. در نهایت، با اعمال شرط مرزی فشار برای ورودی و خروجی، MODFLOW اجرا شده و سپس مازول MODPATH به‌منظور استفاده از تکنیک ردیابی ذرات برای تعیین مشخصات ناحیه هایپریک استفاده شد.

## نتایج و بحث

### شبیه‌سازی جریان سطحی

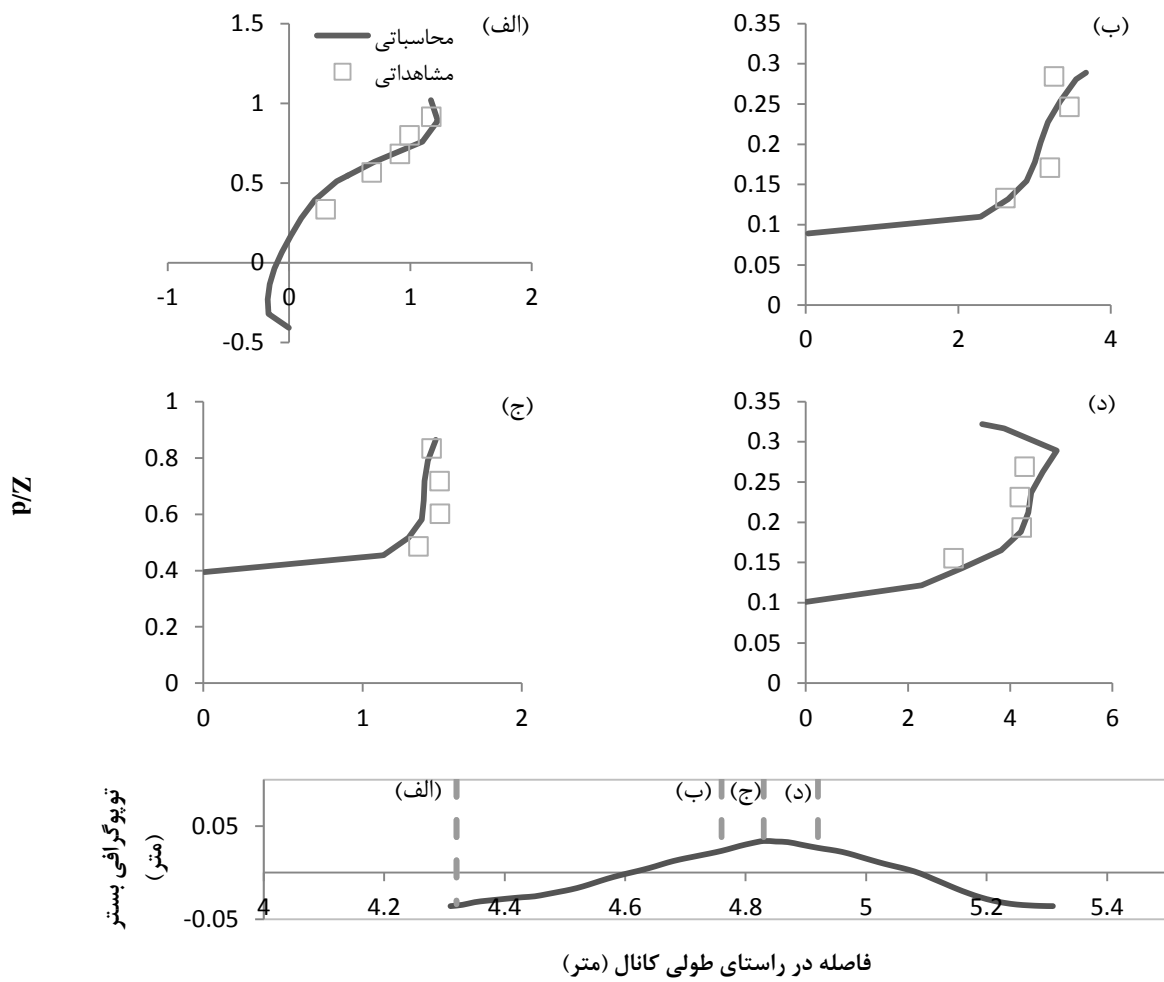
پس از اجرای مدل سه‌بعدی خیزاب- چالاب در اوین‌فوم و اطمینان از پایداری حل، نتایج تراز سطح آب و پروفیل سرعت برای محدوده مطالعه شده در آزمایشگاه با استفاده از ابزار پس‌پردازش پاراویو استخراج شده و با نتایج آزمایشگاهی مقایسه شد. در شکل ۴، توپوگرافی بستر و



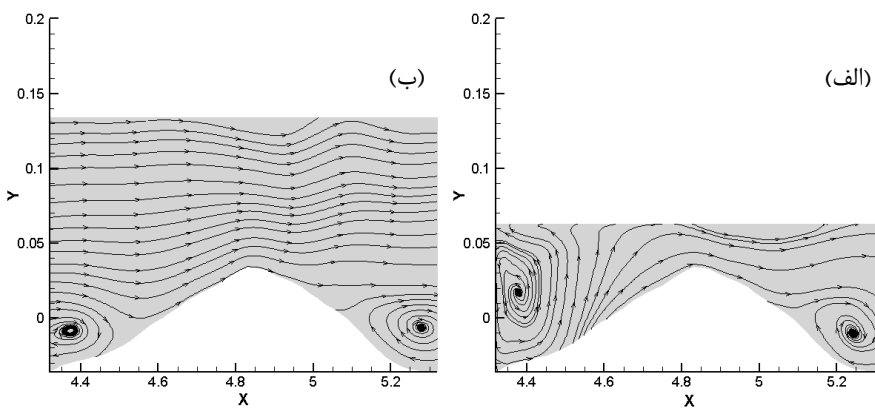
شکل ۴. پروفیل سطح آب اندازه‌گیری شده در آزمایشگاه و شبیه‌سازی شده با اوین‌فوم

جدول ۲. پارامترهای آماری برای پروفیل سطح آب اندازه‌گیری شده و شبیه‌سازی شده

پارامتر آماری	آزمایش ۱	آزمایش ۲	آزمایش ۳
ضریب نشستاتکلیف (NASH)	۰/۱۰۲	۰/۴۹۶	۰/۵۸۰
ریشه میانگین مربعات خطای (RMSE)	۰/۰۰۱۸	۰/۰۰۱۷	۰/۰۰۱۶
درصد میانگین خطای (MPE)	۲/۳۷۴	۱/۵۹۴	۱/۳۶۳



شکل ۵. نمودارهای پروفیل سرعت اندازه‌گیری شده در آزمایشگاه و شبیه‌سازی شده با اوبن‌فوم



شکل ۶. خطوط جریان برای دبی (الف) ۶ لیتر بر ثانیه، و (ب) ۶۰ لیتر بر ثانیه

دبی‌های کمتر و بیشتر از مقادیر اندازه‌گیری شده در آزمایشگاه (۶، ۳۰، ۳۵، ۵۰ و ۶۰ لیتر بر ثانیه)، به بیانی نوع بخشیدن به عدد رینولدز انجام پذیرفت و نتایج فشار

همان طور که در بخش مواد و روش‌ها گفته شد، پس از کالیبراسیون مدل و اطمینان از درستی نتایج مدل، به منظور غنی‌سازی داده‌ها، شبیه‌سازی عددی برای

بستر دیون نشان داده بود که با افزایش عدد رینولدز، کمترین و بیشترین فشار به یکدیگر نزدیک می‌شوند.

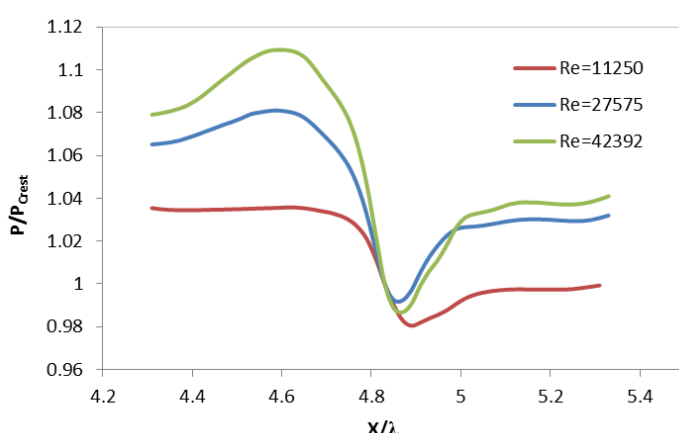
#### شبیه‌سازی جریان زیرسطحی

همان طور که در بخش قبل گفته شد، به منظور مقایسه نتایج شبیه‌سازی با مشاهدات آزمایشگاهی، از روش ردیابی ذرات در MODPATH استفاده شد. به این صورت که در همان نقاطی که در آزمایشگاه تزریق ماده رنگی صورت گرفته بود، ذره رها شد و با استفاده از کد نوشته شده در نرم‌افزار متلب، پارامترها طول طی شده توسط ذره در زمان‌های مختلف محاسبه شده و با مقادیر مشاهداتی مقایسه شد که نشان دهنده دقیق مدل بود. همچنین، بیشترین عمق خطوط جریان هایپریک، محل خروج ذره و سرعت داخل محیط متخلخل برآورد و سپس با نتایج آزمایشگاهی مقایسه شد. در شکل ۸-الف، خطوط جریان داخل محیط متخلخل که با استفاده از تزریق ماده رنگی به دست آمده، ارائه شده است. شکل ۸-ب نیز خطوط جریان محاسباتی را در خط مرکزی کانال نشان می‌دهد. مقایسه مقدار متوسط سرعت مشاهداتی (یک سانتی‌متر بر ثانیه) و محاسباتی ( $0.79 \text{ m/s}$ ) برای آزمایش ۳، بیان کننده دقیق مدل آب زیرزمینی یادشده در برآورد مشخصات ناحیه متخلخل زیرین است و اختلاف ناچیز موجود می‌تواند به علت معرفی یک ناحیه متخلخل کاملاً یکنواخت باشد. هرچند دقیق زیاد این مدل می‌تواند ناشی از دقیق توزیع فشار معرفی شده در سطح فرم بستر نیز باشد که با استفاده از مدل آب سطحی، به خوبی برآورد شده بود.

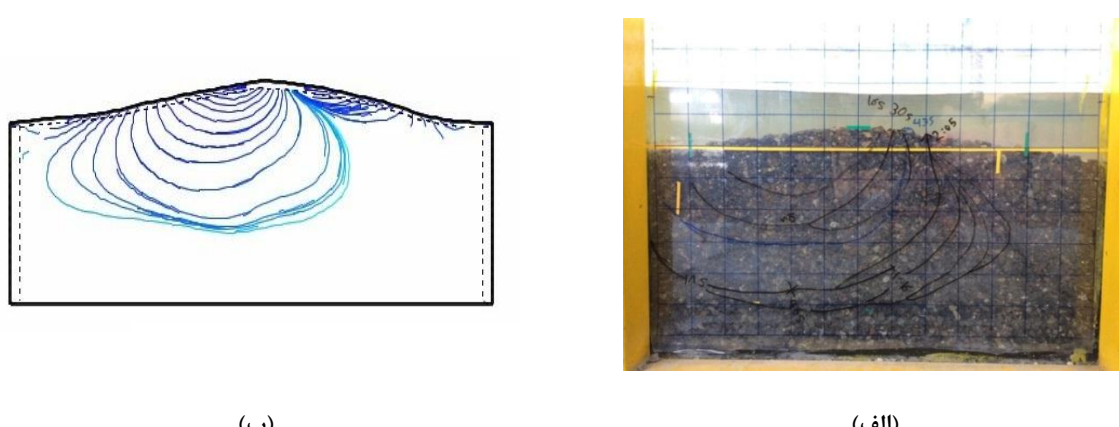
بر سطح فرم بستر در هر یک از این آزمایش‌ها، برای تعیین مشخصات ناحیه هایپریک به مدل آب زیرزمینی معروفی شد. عدد رینولدز مطابق پیشنهاد کاردنس و ویلسون (۲۰۰۶) طبق رابطه ۸ محاسبه شده است:

$$Re = \frac{U_{ave} \Delta}{v} \quad (8)$$

که در آن  $U_{ave}$  سرعت متوسط است و از میانگین گیری پروفیل سرعت عمومی در تاج خیزاب به دست می‌آید.  $\Delta$  فاصله تاج خیزاب تا کف چالاب و  $v$  ضریب لزجت سینماتیک است. در شکل ۷ نمودار تغییرات فشار در سطح فرم بستر برای دبی حداقل، حدکثر و متوسط ترسیم شده است. در این نمودار فشار بر سطح فرم بستر در هر نقطه، نسبت به فشار در تاج خیزاب بی بعد شده است. همان طور که ملاحظه می‌شود، محل بیشترین فشار قبل از تاج خیزاب و کمترین فشار بعد از تاج خیزاب است. نتایج نشان می‌دهد با افزایش دبی جریان یا به بیان دیگر افزایش عدد رینولدز، اختلاف کمترین و بیشترین فشار، افزایش می‌یابد. همچنین با افزایش عدد رینولدز، محل بیشترین فشار از تاج خیزاب دور شده و محل کمترین فشار به تاج خیزاب نزدیکتر می‌شود. به طوری که فاصله بین محل کمترین و بیشترین فشار، عمق ناحیه هایپریک را تعیین می‌کند [۱۱]. در بخش بعد ملاحظه خواهد شد که با توجه به تغییر انداز این فاصله، عمق ناحیه هایپریک ثابت باقی می‌ماند. این نتایج با تحقیق کاردنس و ویلسون (۲۰۰۷) که به بررسی عددی تبدلات هایپریک در فرم بستر دیون پرداختند، مطابقت ندارد. نتایج آنان در فرم



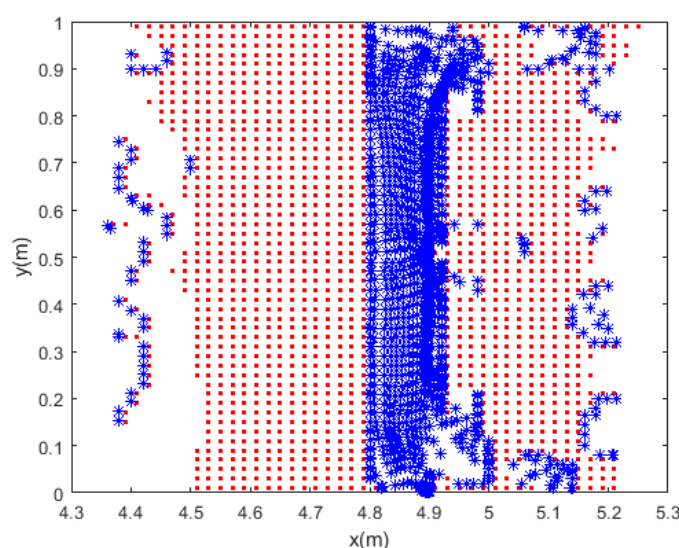
شکل ۷. نمودار تغییرات فشار در سطح فرم بستر برای دبی‌های مختلف



شکل ۸. خطوط جریان داخل محیط متخلخل برای آزمایش ۳: (الف) مشاهده‌ای، ب) محاسباتی

اعداد رینولدز تحقیق حاضر برابر ۲۷ سانتی‌متر است. این نتایج با تحقیق کاردنس و ویلسون (۲۰۰۷) که به بررسی عددی تبادلات هایپریک در فرم بستر دیون پرداختند، مطابقت دارد. نتایج آنان در فرم بستر دیون نیز نشان داده بود در اعداد رینولدز بالا، فاصله بین کمترین و بیشترین فشار ثابت می‌ماند [۱۱]. شکل ۹ محل رها شدن ذره (نقاط توپر) و خروج آن (ستاره) را برای آزمایش ۳ نشان می‌دهد. محدوده‌هایی که محل ورود و خروج ذره نیستند (نواحی سفیدرنگ)، نواحی‌ای هستند که ذرات شرایط جریان هایپریک ندارند. همان طور که ملاحظه می‌شود، بیشتر ذرات از نقاط بعد از تاج خیزاب که کمترین فشار را دارند، خارج شده‌اند.

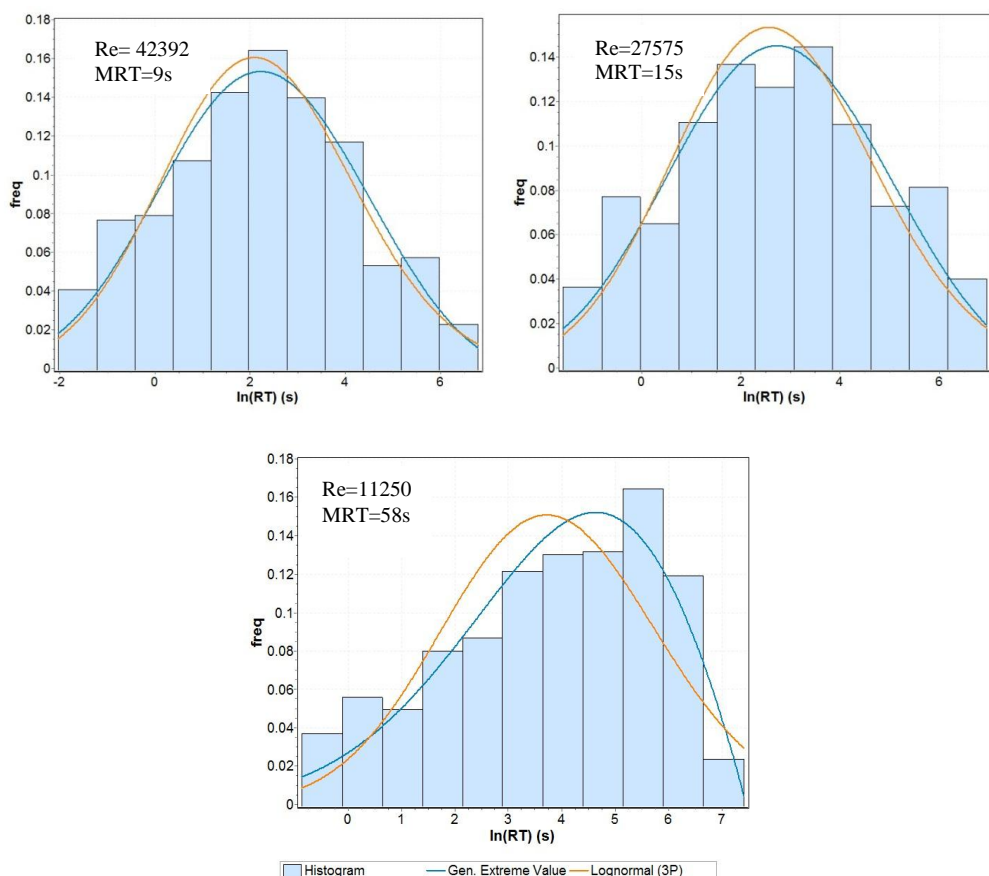
مشخصات ناحیه هایپریک، شامل دبی تبادلی، زمان ماند و عمق نفوذ جریان است که به منظور تعیین آنها، از کل سطح فرم بستر یعنی فاصله یک چالاب تا چالاب بعدی (یک سیکل)، ۲۵۵۰ ذره رها شد و ذراتی که از فرم بستر خارج می‌شدند، به بیان دیگر در پدیده هایپریک شرکت داشتند، تحلیل شدند. همچنین، ذراتی که زمان ماند صفر داشتند، به این معنا که از همان نقطه رهاسده، خارج شده بودند، نیز حذف شدند. همان طور که در بخش قبل گفته شد، فاصله بین کمترین و بیشترین فشار که در واقع عمق ناحیه هایپریک را تحت تأثیر قرار می‌دهد، در تحقیق حاضر بسیار اندک بود. نتایج حل جریان زیرسطحی نیز نشان داد عمق نفوذ جریان برای تمامی



شکل ۹. محل رهاسده ذره (نقاط قرمزرنگ) و محل خروج ذرات (نقاط آبی‌رنگ) – آزمایش ۳

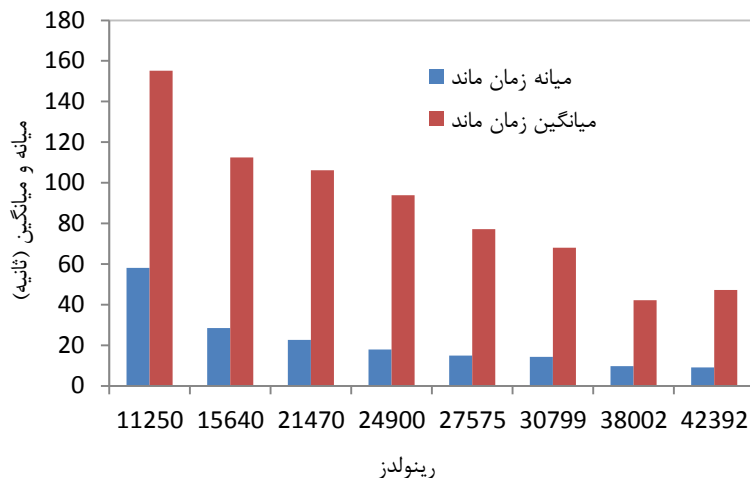
لوگ نرمال ارائه می‌کند. همان طور که دیده می‌شود با کاهش عدد رینولدز نمودار برآش داده شده به سمت راست تمایل پیدا می‌کند، به این معنا که با کاهش رینولدز، تعداد ذراتی که زمان ماند طولانی‌تری دارند، افزایش می‌یابد. مقایسه مقادیر میانه و میانگین نیز مؤید همین مطلب است. در شکل ۱۱، مقادیر میانه و میانگین زمان ماند برای کلیه آزمایش‌های تحقیق حاضر مقایسه شده‌اند. همان طور که ملاحظه می‌شود در تمامی رینولدزها، مقادیر میانگین بیشتر از میانه بوده که نشان دهنده چوگانگی مثبت است، به بیانی توزیع مقادیر به سمت راست است. بنابراین، می‌توان نتیجه گرفت که در موقع کم‌آبی، مدت زمانی که مواد محلول درون ناحیه هایپریک باقی می‌مانند بیشتر است، در نتیجه فرستت بیشتری برای انجام برخی واکنش‌های شیمیایی و نیز کاهش یا حذف آلاینده‌هایی که همراه جریان وارد این ناحیه شده‌اند، وجود خواهد داشت.

یکی از مشخصات مهم ناحیه هایپریک زمان ماند است، که معمولاً برای ارائه مقدار آن از شاخص آماری میانه زمان ماند<sup>۱</sup> استفاده می‌کنند. این شاخص نشان می‌دهد ۵۰ درصد داده‌ها از آن کوچک‌تر و ۵۰ درصد داده‌ها از آن بزرگ‌تر است. در شکل ۱۰، هیستوگرام زمان ماند<sup>۲</sup> و توزیع برآش یافته برای آن، برای سه دبی ۶، ۳۰ و ۶۰ لیتر بر ثانیه ترسیم شده است. با استفاده از نرم‌افزار آماری EasyFit سعی شد تا توزیع‌های مختلفی بر این نمودارها برآش داده شود. نتایج نشان داد در بین توزیع‌های موجود، توزیع مقدار حدی تعمیم‌یافته<sup>۳</sup>، به‌ویژه در رینولدزهای پایین به‌خوبی می‌تواند بر هیستوگرام‌های زمان ماند منطبق شود. ترات و همکارانش (۲۰۱۳) و کاردنس و ویلسون (۲۰۰۶) توزیع لوگ نرمال را پیشنهاد دادند، اما نتایج بررسی آماری این تحقیق نشان داد توزیع مقدار حدی تعمیم‌یافته به مراتب توزیع دقیق‌تری را در مقایسه با توزیع



شکل ۱۰. هیستوگرام توزیع زمان ماند و نمودار برآش داده شده در ناحیه هایپریک- برای دبی ۶، ۳۰ و ۶۰ لیتر بر ثانیه

1. Median Residence Time (MRT)
2. Residence Time Distribution (RTD)
3. Generalized extreme value distribution



شکل ۱۱. مقادیر میانه و میانگین زمان ماند در ناحیه هایپریک

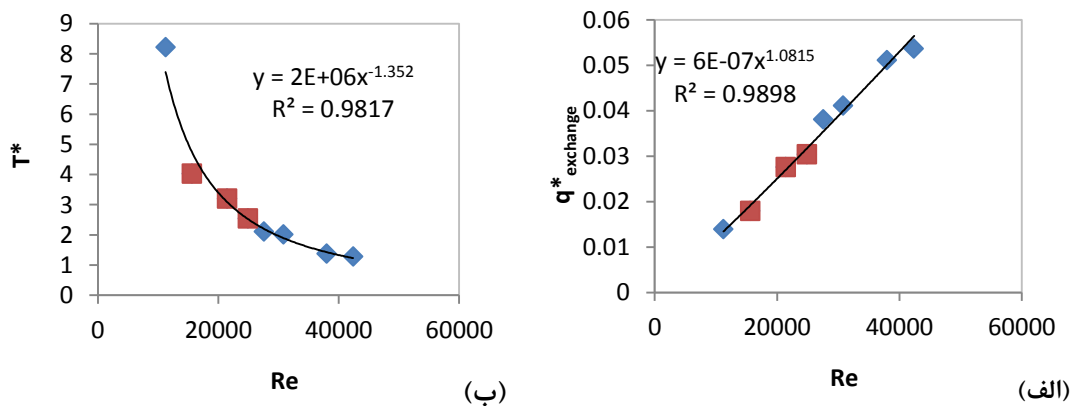
رینولدز، به دلیل افزایش سرعت جریان داخل محیط متخلخل، زمان ماند کاهش یافته و دبی تبادلی افزایش می‌یابد. همان طور که ملاحظه می‌شود، دبی جریان و زمان ماند با عدد رینولدز رابطه توانی دارند که این با نتایج ترات و همکارانش (۲۰۱۳) و کاردنس و ویلسون (۲۰۰۶) تطابق دارد. هانگ و چوی (۲۰۱۸) در مقاله اخیر خود روابطی را برای محاسبه مشخصات ناحیه هایپریک ارائه کردند [۲۲] که رابطه ارائه شده به خوبی می‌تواند مقادیر زمان ماند را تخمین بزند. همچنین، نتایج نشان داد در تمامی رینولدزها، به طور متوسط ۲۰ درصد جریان سطحی در تبادل با ناحیه هایپریک است.

دبی تبادلی نیز با توجه به سرعت نفوذ ذرات به داخل بستره و زمان ماند آن تعیین شدند. دبی تبادلی و زمان ماند به ترتیب به صورت روابط ۹ و ۱۰ بی بعد شده‌اند:

$$q_{exchange}^* = \frac{Q_{exchange} / W}{K \times \lambda} \quad (9)$$

$$T^* = \frac{MRT \times K}{\lambda} \quad (10)$$

که در آنها  $Q_{exchange}$  دبی تبادلی (مترمکعب بر ثانیه)،  $W$  عرض کانال (متر)،  $K$  هدایت هیدرولیکی (متر بر ثانیه) و  $\lambda$  طول موج است. شکل ۱۲ نمودار تغییرات دبی تبادلی بی بعد و زمان ماند بی بعد را برای محدوده رینولدزهای بررسی شده در تحقیق حاضر نشان می‌دهد. با افزایش عدد



شکل ۱۲. تأثیر رینولدز جریان بر (الف) دبی تبادلی و (ب) زمان ماند

- [3]. Buffington JM, and Tonina D. Hyporheic exchange in mountain rivers II: Effects of Channel Morphology on Mechanics, Scales, and Rates of Exchange. *Geography Compass*. 2009; 3(3), 1038-1062.
- [4]. Stonedahl SH. Investigation of the Effect Multiple Scales of Topography on Hyporheic Exchange. PhD Dissertation, Northwestern University, 2011.
- [5]. Biddulph M. Hyporheic Zone: In Situ Sampling, Geomorphological Techniques. Chapter 3, Section 11.1, 2015.
- [6]. Thibodeaux LJ, Boyle JD. Bedform-generated convective transport in bottom sediment. *Nature*. 1987; 325(6102), 341-343.
- [7]. Elliott AH, Brooks NH. Transfer of nonsorbing solutes to a streambed with bed forms: Laboratory experiments. *Water Resources Research*. 1997; 33(1), 137-151.
- [8]. Packman AI, Salehin M, Zaramella M. Hyporheic exchange with gravel beds: basic hydrodynamic interactions and bedform-induced advective flows. *Journal of Hydraulic Engineering*. 2004; 130(7), 647-656.
- [9]. Fox A, Boano F, Arnon S. Impact of losing and gaining streamflow conditions on hyporheic exchange fluxes induced by dune shaped bed forms. *Water Resources Research*. 2014; 50(3), 1895-1907.
- [10]. Cardenas MB, Wilson JL. The influence of ambient groundwater discharge on hyporheic zones induced by current-bedform interactions. *Journal of Hydrology*. 2006; 331, 103-109.
- [11]. Cardenas MB, Wilson JL. Dunes, turbulent eddies, and interfacial exchange with permeable sediments. *Water Resource Research*. 2007; 43(8).
- [12]. Blois G, Best JL, Sambrook Smith GH, Hardy RJ. Effect of bed permeability and hyporheic flow on turbulent flow over bed forms. *Geophysical Research Letters*. 2014; 41(18), 6435-6442.
- [13]. Lee DH, Kim YJ, Lee S. Numerical modeling of bed form induced hyporheic exchange. *Paddy and Water Environment*. 2014; 12(1): 89-97.
- [14]. Chen X, Cardenas MB, Chen L. Three-dimensional versus two-dimensional bed form-induced hyporheic exchange. *Water Resources Research*. 2015; 51(4), 2923-2936.
- [15]. Rodríguez JF, García CM, García MH. Three-dimensional flow in centered pool-riffle sequences. *Water Resources Research*. 2013; 49(1), 202-215.

### نتیجه‌گیری

تحقیق حاضر با هدف بررسی آزمایشگاهی پدیده هایپریک در فرم بستر خیزاب- چالاب در شرایط هیدرولیکی مختلف صورت گرفت. سپس، از مدل‌های نرم‌افزاری MODFLOW و OpenFOAM به ترتیب بهمنظور شبیه‌سازی جریان سطحی و جریان زیرسطحی بهره گرفته شد. به طور کلی نتایج زیر از تحقیق حاضر به دست آمد:

- نرم‌افزار اوپن‌فوم با درنظرگرفتن یکتابع دیواره برای فرم بستر به عنوان شرط مرزی پایین (سطح فرم بستر) و استفاده یک شرط اولیه برای سلول‌های آب و هوا در مرز بالا، به خوبی قادر است جریان سطحی را شبیه‌سازی کند.
- به طوری که پروفیل سطح آب و پروفیل سرعت را با دقت زیادی برآورد می‌کند و می‌توان نتیجه گرفت فشارهای محاسبه شده در سطح فرم بستر نیز با دقت مناسبی تخمین خواهد زد.

- مقایسه سرعت متوسط جریان زیرسطحی با نتایج مشاهدات آزمایشگاهی نشان داد مدل یادشده قادر است خصوصیات ناحیه متخلخل زیرین را به درستی برآورد کند.

- مطالعاتی که تا کنون صورت گرفته به اتفاق توزیع لوگ نرمال را بر هیستوگرام‌های زمان ماند برآش داده بودند، اما نتایج تحقیق حاضر نشان داد توزیع مقدار حدی تعمیم‌یافته برآش بهتری را ارائه می‌کند.

- با افزایش عدد رینولدز، تبادلات هایپریک افزایش یافته و زمان ماندگاری کاهش می‌یابد، به طوری که رابطه توانی بین آن‌ها برقرار است.

- با توجه به تحقیق حاضر، اگر سعی شود در پروژه‌های احیای رودخانه به طور مصنوعی توالی‌های خیزاب- چالاب به وجود آید، می‌توان خودپالایی یک رودخانه را در جذب و کاهش آلاینده‌ها با توجه به زمان ماند آن درون بستر را تعیین کرد و افزایش داد.

### منابع

- [1]. Boano F, Harvey JW, Marion A, Packman AI, Revelli R, Ridolfi L, Wörman A. Hyporheic flow and transport processes: Mechanisms, models, and biogeochemical implications. *Reviews of Geophysics*. 2014; 52(4), 603-679.
- [2]. Tonina D, Buffington JM. Hyporheic exchange in mountain rivers I: Mechanics and environmental effects. *Geography Compass*. 2009; 3(3), 1063-1086.

- [16]. Tonina D, Buffington JM. Hyporheic exchange in gravel bed rivers with pool-riffle morphology: Laboratory experiments and three-dimensional modeling. *Water Resources Research*. 2007; 43(1).
- [17]. Zhou T, Endreny T A. Reshaping of the hyporheic zone beneath river restoration structures: Flume and hydrodynamic experiments. *Water Resources Research*. 2013; 49(8), 5009-5020
- [18]. Trauth N, Schmidt C, Maier U, Vieweg M, Fleckenstein JH. Coupled 3-D stream flow and hyporheic flow model under varying stream and ambient groundwater flow conditions in a pool-riffle system. *Water Resources Research*. 2013; 49(9), 5834-5850
- [19]. Buffington JM, Montgomery DR. Effects of hydraulic roughness on surface textures of gravel-bed rivers. *Water Resources Research*. 1999; 35, 3507– 3521.
- [20]. McSherry RJ, Chua KV, Stoesser T. Large eddy simulation of free-surface flows. *Journal of Hydrodynamics*. 2017, 29(1): 1-12.
- [21]. Rodi W, Constantinescu G, Stoesser T. Large eddy simulation in hydraulics. *IAHR Monograph*, London, UK: CRC Press, Taylor & Francis Group, 2013.
- [22]. Huang P, May Chui, TFM. Empirical Equations to Predict the Characteristics of Hyporheic Exchange in a Pool Riffle Sequence. *Groundwater*. 2018; 56(6), 947-958.